

<b>Zeitschrift:</b>	Schweizerische Bauzeitung
<b>Herausgeber:</b>	Verlags-AG der akademischen technischen Vereine
<b>Band:</b>	115/116 (1940)
<b>Heft:</b>	2
<b>Artikel:</b>	Leistungsversuche an einer Gleichdruck-Gasturbine der A.G. Brown, Boveri & Cie. in Baden
<b>Autor:</b>	Stodola, A.
<b>DOI:</b>	<a href="https://doi.org/10.5169/seals-51121">https://doi.org/10.5169/seals-51121</a>

### Nutzungsbedingungen

Die ETH-Bibliothek ist die Anbieterin der digitalisierten Zeitschriften auf E-Periodica. Sie besitzt keine Urheberrechte an den Zeitschriften und ist nicht verantwortlich für deren Inhalte. Die Rechte liegen in der Regel bei den Herausgebern beziehungsweise den externen Rechteinhabern. Das Veröffentlichen von Bildern in Print- und Online-Publikationen sowie auf Social Media-Kanälen oder Webseiten ist nur mit vorheriger Genehmigung der Rechteinhaber erlaubt. [Mehr erfahren](#)

### Conditions d'utilisation

L'ETH Library est le fournisseur des revues numérisées. Elle ne détient aucun droit d'auteur sur les revues et n'est pas responsable de leur contenu. En règle générale, les droits sont détenus par les éditeurs ou les détenteurs de droits externes. La reproduction d'images dans des publications imprimées ou en ligne ainsi que sur des canaux de médias sociaux ou des sites web n'est autorisée qu'avec l'accord préalable des détenteurs des droits. [En savoir plus](#)

### Terms of use

The ETH Library is the provider of the digitised journals. It does not own any copyrights to the journals and is not responsible for their content. The rights usually lie with the publishers or the external rights holders. Publishing images in print and online publications, as well as on social media channels or websites, is only permitted with the prior consent of the rights holders. [Find out more](#)

**Download PDF:** 22.02.2026

**ETH-Bibliothek Zürich, E-Periodica, <https://www.e-periodica.ch>**

**INHALT:** Leistungsversuche an einer Gleichdruck-Gasturbine der A. G. Brown, Boveri & Cie. in Baden. — Die Brown Boveri-Verbrennungsturbine an der LA. — Wettbewerb für ein Kurpark-Theater in Baden. — Kriegsgeologie. — Mitteilungen: Ueber Zerstörungen und Wiederaufbau der Weichselbrücken. «Wenn die Rhone schiffbar wäre». Die Dieselschlepper «Zürich» und «Uri» auf dem Rhein. Wasserabfluss bei Zerstörung von Flusswehren. Eidg. Technische Hochschule. — Nekrolog: Alex. v. Steiger. Arnold Altwegg. — Literatur. — Wettbewerbe: Verwaltungsgebäude der Schweiz. Nationalversicherungsgesellschaft in Basel. Strassenbrücke über die Gürbetalbahn in Bern.

Mitteilungen der Vereine.  
Sitzungs- und Vortrags-Kalender.

**Band 115** Der S.I.A. ist für den Inhalt des redaktionellen Teils seiner Vereinsorgane nicht verantwortlich  
Nachdruck von Text oder Abbildungen ist nur mit Zustimmung der Redaktion und nur mit genauer Quellenangabe gestattet

**Nr. 2**

## Leistungsversuche an einer Gleichdruck-Gasturbine der A. G. Brown, Boveri & Cie. in Baden

Von Prof. Dr. A. STODOLA, Zürich

Die untersuchte Gasturbinenanlage der Firma Brown, Boveri & Cie. in Baden ist eine Verbrennungsturbine und besteht nur aus den einfachsten, unumgänglich notwendigen Bestandteilen, nämlich dem Gebläse, der Verbrennungskammer, der Turbine (mit direktem Auspuff) und dem Stromerzeuger. Der Verzicht auf jede weitere Zutat, wie z. B. einen Wärmeaustauscher zwischen Abgasen und der verdichteten Verbrennungsluft, ist begründet durch den Umstand, dass die Turbine für eine bombensichere Zentrale bestimmt ist, die nur wenige Stunden im Jahr betrieben wird, sodass eine Erhöhung der Anschaffungskosten zu Gunsten eines besseren Wirkungsgrades sich nicht gelohnt hätte.

Aber auch mit dieser einfachsten Ausführung ergaben die Versuche einen Wirkungsgrad von 17,38 % bezogen auf die im Brennstoff eingeführte Wärme und das Wärmeäquivalent der elektrischen Leistung des Generators, ein Wirkungsgrad, der in zahlreichen Fällen zusammen mit den mannigfachen baulichen Vorteilen die Turbine wettbewerbfähig macht, wozu auch noch der Umstand, dass die Turbine kein Wasser braucht, wesentlich beiträgt.

Der Verbrennungsgasturbine eröffnen sich heute Verwirklichungsmöglichkeiten, die vor kurzem noch unmöglich schienen, durch die Verbesserung des Gebläsewirkungsgrades einerseits und die der wärmefesten Baustoffe andererseits. Die von Brown, Boveri vor sieben Jahren in Verbindung mit dem Veloxkessel entwickelten Axialgebläse erlauben eine Verbesserung des Gasturbinen-Prozesses im Verhältnis 1 : 1,65 gegenüber den mit Zentrifugalgebläsen bestenfalls erreichbaren Werten, während die Erhöhung der Temperatur bei gleicher Kriechfestigkeit, die uns die Metallurgien durch die Schaffung wärmefesterer Baustoffe möglich gemacht haben, rd. 1 : 1,18 Verbesserung gebracht hat.

Ohne diese Mittel blieb für die Verwirklichung der Gasturbine nur der Weg der Explosionsturbine offen, den Holzwarth in Erkenntnis dieser Umstände schon 1905 beschritten und seither in zäher, opferwilliger Arbeit verfolgt hat, bis 1933 in Zusammenarbeit mit Brown, Boveri & Cie. eine betriebsfähige Explosionsturbinenanlage entstand. Deren Ergebnisse haben vor rd. 1 1/2 Jahren zur Bestellung einer 5000 kW Einheit durch die Aug. Thyssen-Hütte in Hamborn geführt. Aus der Fülle sonstiger Gasturbinen-Patente sei übrigens nur auf die Ideen von Ackeret und Keller hingewiesen<sup>1)</sup>.

1) Siehe J. Ackeret und C. Keller: «Eine aerodynamische Wärmekraft-Anlage», «SBZ», Bd. 113, Nr. 19, S. 229.

Die Firma Brown, Boveri & Cie. hat anlässlich der Entwicklung des Veloxkessels und der Aufladeanlagen auf die wissenschaftliche Erforschung der strömungstechnischen Fragen und der konstruktiven Ausgestaltung der Turbine und der Axialgebläse grösste Sorgfalt gewendet. Als Ergebnis dieser Forschungsarbeit ist die hier beschriebene Anlage anzusehen, deren Einzelwirkungsgrade die höchsten bis heute erreichten Beträge darstellen.

In der schematischen Zusammenstellung Abb. 1 ist *a* das Gebläse, welches die Luft auf 3 1/4 ata verdichtet. Die Trommel wird durch Schrumpf und Schweißung auf den Achsenstummel befestigt. Die Form des Ausströmkanales ermöglicht, wie Modellversuche zeigten, die Rückumwandlung von kinetischer Energie in Druck. In der Brennkammer *b* wird der Luft beim Eintritt durch Leitschaufeln eine mässige Drehbewegung erteilt. Um die Verbrennungstemperatur auf etwa 1400 °C zu steigern, dient nur ein Teil der Gesamtluft zur Unterhaltung der Verbrennung, den Rest mischt man nachträglich den Brenngasen bei.

Die Turbine ist mit vielstufiger Ueberdruckschaufelung versehen. Der Läufer, Abb. 2, besteht aus zwei, mit den Wellenden je aus einem Stück geschmiedeten End scheiben und einer bohrunglosen, die Form gleicher Festigkeit wahrenden Mittelscheibe, die nach dem bekannten Verfahren der Erbauerin mit den Nachbarscheiben längs der Umfänge verschweisst wird. Dieses Verfahren bietet außer den Vorteilen der ungebohrten Scheibe gleicher Festigkeit an sich, bauliche Vorzüge durch den Wegfall der bei durchgehender Welle unvermeidlichen Schrumpfung, Keile und Keilnuten, die bei den hohen Temperaturen besonders unerwünscht sind. Der Läufer besteht aus gut durchschmiedbaren Teilen, und der weite Abstand der Schweißstellen von der Axe führt zu geringen Beanspruchungen der Schweißnähte durch Biegungen und Schwingungen des Läufers; daher hat sich das Verfahren an den zahlreichen Turbinenausführungen der Firma als zuverlässig und einwandfrei erwiesen. Der Unterschied der Axialschübe von Turbine und Gebläse wird durch ein gemeinsames Blocklager aufgenommen.

Bei einer Gesamtlänge des Gehäuses zwischen den Außenkanten der Lager von über 2 m ist bei 550 °C Anfangstemperatur des Gases die Gesamtdehnung begreiflicherweise erheblich, der Unterschied in der Dehnung des Gehäuses und der Welle, wohl als Folge der isolierenden Luftsichten, jedoch geringfügig. Die Dichtungsringe der Stopfbüchsen bestehen aus dünnen Eisenblechen, die in Nuten eingestemmt werden.

Zu den am 7. Juli 1939 in den Werkstätten der Firma in Baden unter meiner persönlichen Leitung vorgenommenen Versuchen wurden zum Zwecke der Brennstoffbestimmung der, amtlichen Charakter besitzende Schweizerische Verein von Dampfkessel-Besitzern und zum Zwecke der Ermittlung der elektrischen Leistung die gleichqualifizierten Technischen Prüfanstalten des Schweizerischen Elektrotechnischen Vereins in Zürich beigezogen. Die Temperatur- und Druckmessungen wurden vom Personal der Firma besorgt. Die Heizwertbestimmung des Brennstoffes besorgte die Eidgen. Materialprüfungsanstalt, Abteilung Brenn- und Kraftstoffe.

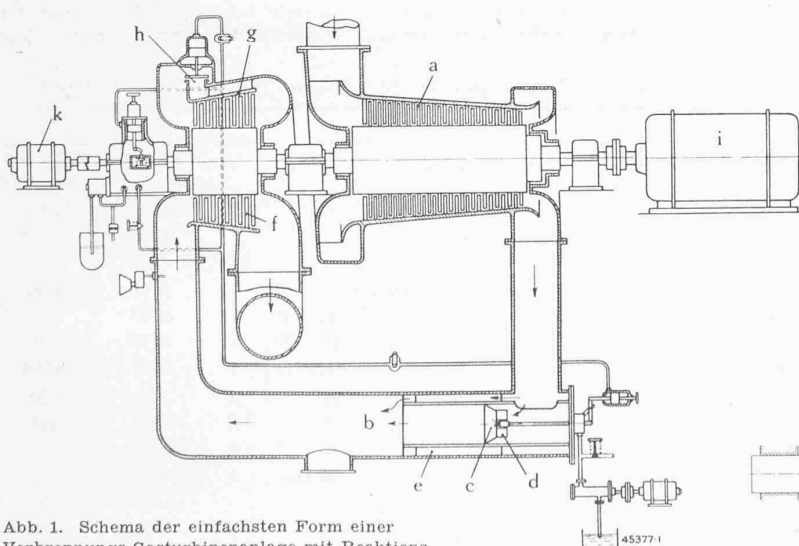


Abb. 1. Schema der einfachsten Form einer Verbrennungs-Gasturbinenanlage mit Reaktions-Gasturbine und Axialgebläse für Oelfeuerung. — a Axialgebläse, b Brennkammer, c Brennstoffdüse, d Drallkörper, e Kühlluftmantel, f Gasturbinenschaufeln, g Gasturbine, h Sicherheitsventil, i Generator, k Anwurfmotor

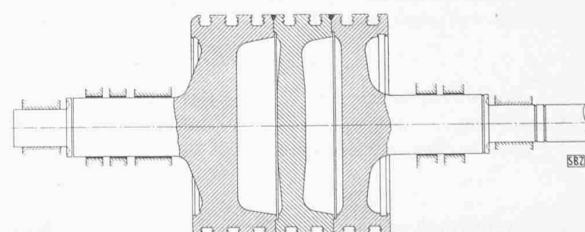


Abb. 2. Schnitt durch den Turbinen-Läufer BBC

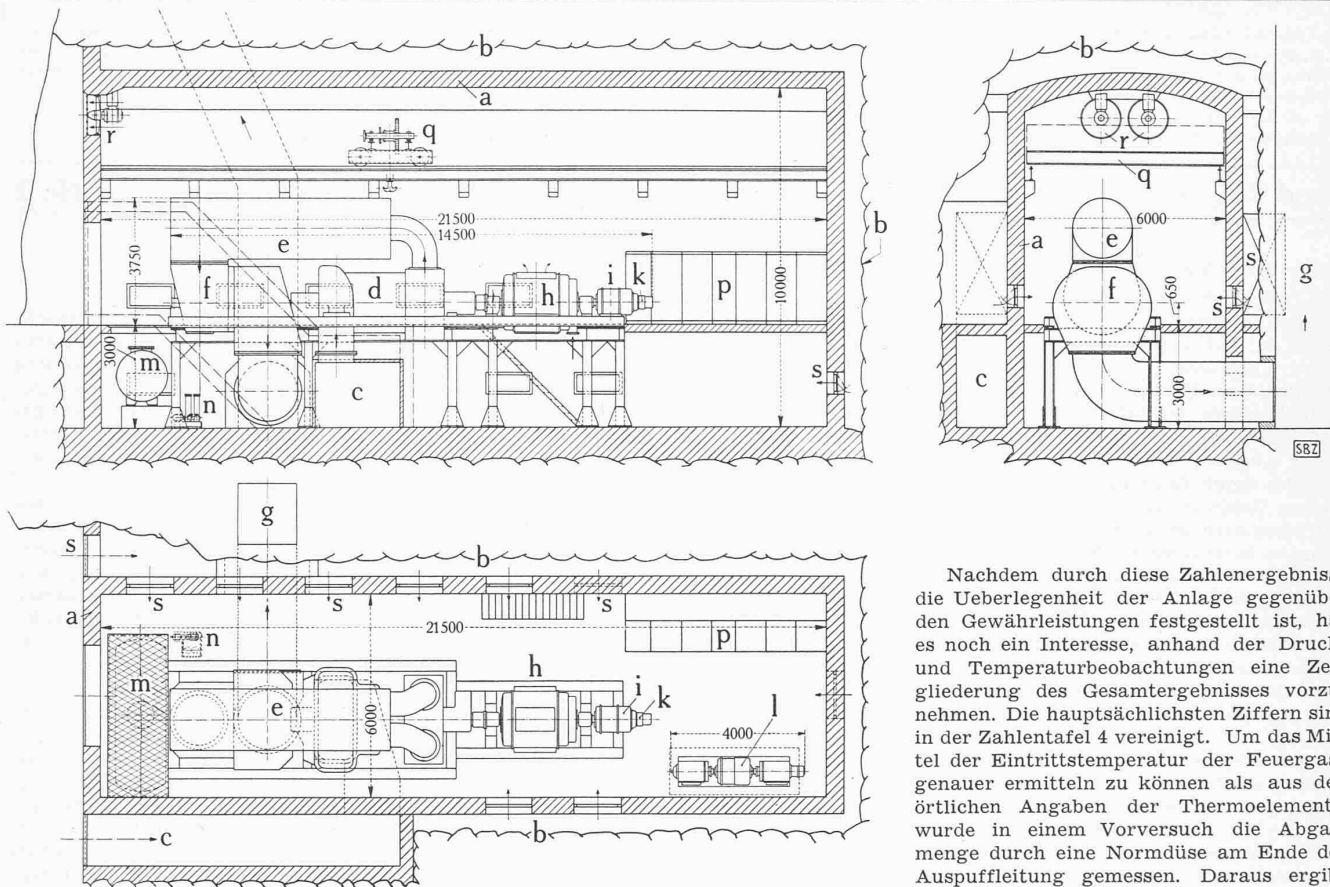


Abb. 3. BBC-Verbrennungs-Gasturbinenanlage mit Generator von 4000 kW in einem Stollen. a Gebäude, b Aushub im Felsen, c Brennluftsaugkanal, d Luftverdichter, e Brennkammer, f Gasturbine, g Abgaskamin, h Elektrischer Generator, i Anwurfmotor, k Erreger, l Anwurf-Dieselgruppe, m Brennstoffbehälter, n Brennstoffpumpe, p Schalttafel, q Laufkran, r Ventilator für Raumbelüftung, s Raumlufteneintritt

Der verwendete Brennstoff wurde durch Wägung mit geicherter Schiebegewichtswaage aus einem grösseren Gefäß, das den Vorrat für mehr als eine Stunde Versuchsdauer enthielt, bestimmt, mit Ablesungen alle zehn Minuten. Die elektrische Leistung an den Klemmen des Drehstromerzeugers wurde durch Präzisions-kWh-Zähler gemessen, mit zweiminütlicher Ablesung. Ueber die Messergebnisse geben nachfolgende Zahlentafeln 1 und 2 Auskunft.

#### Der Wirkungsgrad der Anlage

Um den Verdichtungsgrad der während der Versuche Nr. II bzw. Nr. III herrschenden Lufttemperatur von 25,3 bzw. 26,0 °C anzupassen, wurde die Drehzahl auf 3020 bzw. 3030 U/min eingestellt. Es gelten als dann die Beobachtungswerte der Zahlentafel 3.

Ausflussformel:

$$G = C \frac{p_1}{\sqrt{T_1}} \sqrt{1 - \left( \frac{p_2}{p_1} \right)^2}$$

deren Festwert aus dem Düsenmessversuch bestimmt wurde. Aus der Gleichung, dass der Heizwert zur Erwärmung der Luftpumpe zwischen Austritt aus Gebläse und Eintritt in die Turbine (mit Vernachlässigung der Strahlungsverluste) dient, kann die Eintrittstemperatur bestimmt werden. Aus den Temperaturen folgen die angeführten Einzel-Wirkungsgrade. Dabei gilt für den Anfangsdruck des Gebläses der innerhalb der Saugstutzen sich einstellende kleine Unterdruck, da die Luft aus örtlichen Gründen durch einen Holzkanal zugeführt wurde. Als Lagerreibung, Stopfbüchsenverlust und Wärmeverlust an die Umgebung wurden 2 % abgezogen. Der Kaminverlust musste infolge Fehlanschluss der Messvorrichtung rechnerisch bestimmt werden. Bei etwa 15 m

Zahlentafel 1: Versuchsergebnisse

Pos.	Versuch No.		I	II	III
	Versuchsbelastung		Leerlauf	rd. 4000 kW	rd. 3000 kW
1	Datum des Versuches		7. 7. 39	7. 7. 39	7. 7. 39
2	Dauer des Versuches	min	15	60	30
	Brennstoff-Messungen				
3	Art des Heizöles			Gasöl	
4	Gehalt an Feuchtigkeit	%		0,0	
5	Gehalt an Asche	%		0,0	
6	Elementaranalyse C	%		86,80	
	" H	%		12,45	
	" S	%		0,66	
7	unterer Heizwert	Cal/kg		10143	
8	oberer "	Cal/kg		10846	
9	spezifisches Gewicht bei 20 °C	kg/l		0,851	
10	" " 25 °C	"		0,848	
11	" " 30 °C	"		0,845	
12	Brennstoffverbrauch der Gasturbine, berichtig	kg/h	822,0	1967,5	1654,9

Zahlentafel 2: Elektrische Messungen

Versuch No.		II	III
Versuchsdauer	von 10 <sup>10</sup> bis 11 <sup>10</sup>	von 11 <sup>25</sup> bis 11 <sup>55</sup>	
Erreger-Strom	A	130,8	108,4
Spannung	V	102,7	84,9
Leistung	kW	13,4	9,2
Generator-Spannung	Phase T — S	V	6611
	R — S	V	6580
	R — T	V	6616
Strom	Mittel	V	6602
	R	A	363
	S	A	343
	T	A	349
	Mittel	A	352
cos φ			0,998
Leistung aus Wattmeterablesung	kW	4015	3041
Energieabgabe aus Zählerablesung	kWh	4015	1521
	kWh	4021	3057
	kWh	4021	1529

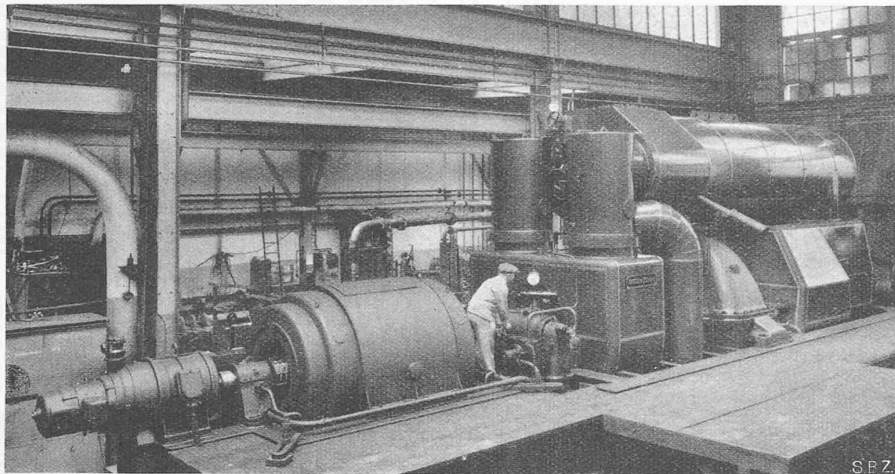


Abb. 4. Die 4000 kW Gasturbinengruppe auf dem Prüfstand von Brown, Boveri &amp; Cie., Baden

Auspufflänge von 1800 mm  $\varnothing$ , 9 m Kaminlänge mit 2200 mm  $\varnothing$  und 15 m Höhendifferenz mit drei in den Ecken die Umlenkung bewirkenden Schaufelsystemen ergab sich, nach Abzug der Saugwirkung, ein Widerstand von 28 mm WS. Diese genauere Ausrechnung erfolgte, weil am Orte der Aufstellung nahezu die selben Verhältnisse vorliegen, sodass eine Umrechnung wegen der Gewährleistung entbehrlich werden konnte.

#### Regulierversuche.

Bei Änderung der Belastung folgt die Brennstoffzufuhr unmittelbar der Einwirkung des Reglers und erlaubt Variationen von Vollast bis auf Leerlauf und umgekehrt. Die Geschwindigkeitsänderung wurde bei den Versuchen am Zifferblatt des Tachometers unmittelbar abgelesen. Die Ergebnisse sind die folgenden:

Entlastung von Vollast auf Leerlauf:

Vorübergehende Drehzahlzunahme . . . 5,8 % in 22,5 sec  
Dauernde " 2,5 % in 1 min 48 sec

Belastung von Leerlauf auf Vollast (durch das Personal von BBC ausgeführt):

Vorübergehende Drehzahlabnahme . . . 5,0 % in 33 sec  
Dauernde " 2,65 % in 1 min 45 sec

Die Verbrennung bleibt hierbei vollkommen, ohne sichtbare Rauchbildung am Kamin.

#### Zahlentafel 3

Versuch Nr.		II	III
1. Brennstoffverbrauch	kg/h	1967,5	1654,9
2. Temperatur vor Gasturbine	° C	552	492
3. Nutzleistung an den Klemmen	kW	4021	3057
4. " " der Kupplung	kW	4184,3	3193,8
5. Gasölverbrauch pro kWh Klemmenleistung	kg	0,489	0,541
6. Unterer Heizwert des Brennstoffes	kcal/kg	10143	10143
7. Brennstoffwärme kcal pro kWh Klemmenleistung	Q	4960	5500
8. Wirkungsgrad der Anlage $\frac{860}{Q}$	%	17,38	15,67
9. Wirkungsgrad der Anlage auf Kupplungsleistung bezogen	%	18,04	16,37

Bei den der Gewährleistung zu Grunde liegenden Daten: Lufttemperatur 20°C, Drehzahl 3000 U/min ermitteln sich hieraus:

10. Leistung an den Klemmen	kW	4000	3026
11. " " der Kupplung	kW	4163	3162
12. Temperatur vor Gasturbine	° C	537	477
13. Thermischer Wirkungsgrad auf Klemmenleistung bezogen	%	17,38	15,67
14. Thermischer Wirkungsgrad auf Kupplungsleistung bezogen	%	18,04	16,37
15. Brennstoffverbrauch auf $H_u = 10000$ bezogen	kg/kWh	0,496	0,549
16. Gewährleisteter Brennstoffverbrauch auf $H_u = 10000$ bezogen	kg/kWh	0,528	0,573

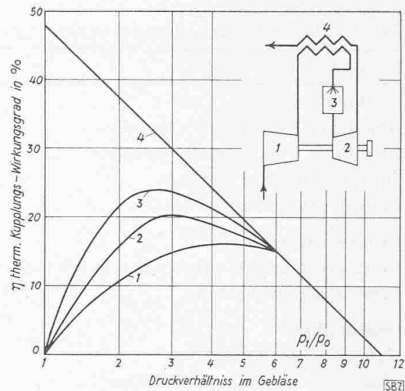


Abb. 5. Wirkungsgrad einer Verbrennungsgasturbine von 1000 kW Leistung an der Kupplung in Funktion der Wärmeaustauschergösse

Temperatur von Gasturbine 550°C, Temperatur der Luft 20°C, Oberfläche des Wärmeaustauschers für 1000 kW bei längsdurchströmten Rohren  
 Kurve 1 = 0 m<sup>2</sup> 1 = Gebläse  
 Kurve 2 = 500 m<sup>2</sup> 2 = Gasturbine  
 Kurve 3 = 2000 m<sup>2</sup> 3 = Brennkammer  
 Kurve 4 = ∞ m<sup>2</sup> (theor.) 4 = W'austauscher

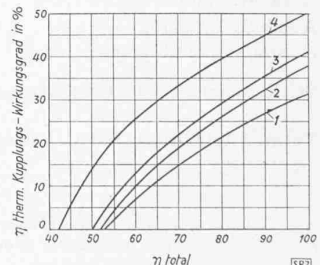
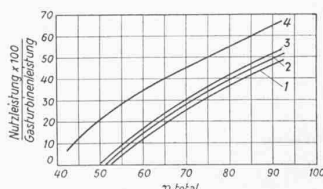
Der therm. Wirkungsgrad von 17,38 % könnte gewiss durch Zwischenschaltung eines Luftvorwärmers oder etwa einer Ab-

wärme-Dampfturbine erhöht werden. Die Erstellerin hat mit Vorsicht hiervon Abstand genommen, um die verblüffende Einfachheit der Anlage nicht preiszugeben, die in sehr vielen Fällen der Praxis bei den soeben festgestellten Grössen des Wirkungsgrades für die Anwendung der Gasturbine ausschlaggebend sein wird. Neben der einfachen und zuverlässigen Bauart der die Turbinenanlage ausmachenden Teile: Gebläse, Verbrennungsraum, Turbine — kommt vor allem in Betracht die *Entbehrllichkeit jeglichen Kühlwassers*, die den Aufstellungsplatz unabhängig macht von jedem Wasservorkommen. Dann kommt ebenso wesentlich die Anschaffungskosten-Höhe in Betracht, einschliesslich die bedeutende Vereinfachung der Fundamente, der geringe Raumbedarf — also Verbilligung der Baukosten.

Mit Recht hat daher Dr. Adolf Meyer folgende *Anwendungsfälle*, wo die Gasturbine in den vorliegenden oder wenig abweichenden Ausführungsformen wettbewerbsfähig ist, hervorgehoben<sup>2)</sup>.

1. *Bereitschafts- und Spitzenlast-Turbinen*, insbesondere in den neuzeitlichen, beliebt werdenden Anlagen der Unterbringung von Kraftwerken in bombensicheren Unterkunftsräumen für gewisse Gruppen der Schlüsselindustrien. Für eine solche Anlage des Elektrizitätswerkes Neuchâtel ist die hier beschriebene Turbine bestimmt, deren Raumordnung durch Abb. 3 und 4 veranschaulicht wird. Als Ergänzung der beschriebenen Teile ist nur ein kleiner Dieselmotor hinzuzufügen, der im Falle gänzlichen Ausfalls von Außenstrom zum Anlassen der Turbine dient.

<sup>2)</sup> Vortrag vor der Institution of Mechanical Engineers, Februar 1939 in London. — Vgl. auch «SBZ» Bd. 114, S. 290.



1 = Therm. Kupplungswirkungsgrad bei 550°C vor Turbine  
 2 = dsl. bei 650°C vor Turbine  
 3 = dsl. bei t = 800°C vor Turbine  
 4 = dsl. bei t = 1200°C vor Turbine

Angenommenes Druckverhältnis im Gebläse:

$P_1/P_2 = 4,2$  bei 550°C vor Turbine       $P_1/P_2 = 7,2$  bei 800°C vor Turbine  
 $P_1/P_2 = 6,0$  bei 650°C vor Turbine       $P_1/P_2 = 12,0$  bei 1200°C vor Turbine  
 ohne Wärmeaustauscher

Abb. 6. Thermischer Wirkungsgrad an der Gasturbinkupplung für verschiedene Gesamtwirkungsgrade von Gebläse und Turbine und verschiedene Temperaturen vor der Turbine, ohne Rekuperation der Abgase

Zahlentafel 4: Drücke, Temperaturen, Luft- und Gasmengen

Versuch Nr.			I	II	III
<b>Gebläse</b>					
Absoluter Druck vor Gebläse . . . . .	$P_{1g}$	kg/m <sup>2</sup>	9882,7	9882,7	9882,3
Absoluter Druck nach Gebläse . . . . .	$P_{2g}$	kg/m <sup>2</sup>	37770	43370	42370
Temperatur vor Gebläse . . . . .	$t_{1g}$	° C	23,2	25,3	26,0
Temperatur nach Gebläse . . . . .	$t_{2g}$	° C	181,0	202,8	200,8
<b>Brennkammer</b>					
Brennstoffmenge (Heizwert 10143 Cal/kg) . . . . .	$G_B$	kg/h	822,0	1967,5	1654,9
Brennstofftemperatur . . . . .	$t_B$	° C	24	24	25
<b>Gasturbine</b>					
$\Delta P_{\text{Kamin}}$ gerechnet . . . . .	$\Delta P_{\text{kamin}}$	mm H <sub>2</sub> O	22	28	26
Absoluter Druck vor Turbine . . . . .	$P_{1t}$	kg/m <sup>2</sup>	37120	42720	41700
Absoluter Druck nach Turbine (Baro + gerechneter Kaminverlust) . . . . .	$P_{2t}$	kg/m <sup>2</sup>	9992	9998	9996
Temperatur vor Turbine (Schalttafelinstrument) . . . . .	$t_{1t}$	° C	374	575	532
Temperatur nach Turbine (Mittelwert von allen Messstellen) . . . . .	$t_{2t}$	° C	163	278	253
<b>Stromerzeuger</b>					
Klemmenleistung . . . . .	$L_{Kl}$	kW	0	4021	3057
Verluste . . . . .	$L_V$	kW	—	161,3	136,8
Kupplungsleistung . . . . .	$L_K$	kW	—	4184,3	3193,8
<b>Luftmenge aus Gebläse</b>					
Drehzahl . . . . .	$n$	U/min	3020	3020	3030
Luftvolumen (aus Volumen-Drehzahlkurve Gebläse) . . . . .	$V$	m <sup>3</sup> /h	198000	198000	199000
Spez. Gewicht vor Gebläse ( $\gamma_1 = P_{1g}/R T_{1g}$ ) . . . . .	$\gamma_1$	kg/m <sup>3</sup>	1,138	1,131	1,127
Luftgewicht $G_L = \gamma_1 V$ . . . . .	$G_L$	kg/h	225800	224000	224000
Gasgewicht $G_G = G_L + G_B$ . . . . .	$G_G$	kg/h	226622	225967,5	225654,9
<b>Temperatur vor Gasturbine aus Brennstoffmenge gerechnet</b>					
Durch Luft zugeführt (aus $H - T$ Tafel) . . . . .	$H_1$	kcal/Mol.	3160	3300	3275
Durch Brennstoff zugeführt $H_2 = \frac{G_B H_u}{G_G} m$ ( $m_G = 29,0$ ) . . . . .	$H_2$	kcal/Mol.	1067	2560	2158
Total zugeführt $H_{\text{tot.}} = H_1 + H_2$ . . . . .	$H_{\text{tot.}}$	kcal/Mol.	4227	5860	5433
Temperatur vor Turbine . . . . .	$t_{1T}$	° C	331	552	492
<b>Gasgewicht aus Durchflussformel</b>					
$G_G = 155,5 \frac{P_{1t}}{\sqrt{T_{1t}}} \sqrt{1 - \left( \frac{P_{2t}}{P_{1t}} \right)^2}$ . . . . .	$G_G$	kg/h	226000	224800	227700
Luftgewicht $G_L = G_G - G_B$ . . . . .	$G_L$	kg/h	225178	222832,5	225045,1
<b>Gebläse-Leistung</b>					
Druckverhältnis . . . . .	$P_2/P_1$		3,82	4,38	4,28
Adiabat. Gefälle . . . . .	$H_{\text{ad.}}$	m	14100	16000	15750
Adiabat. Leistung . . . . .	$L_{\text{ad.}}$	kW	8650	9710	9660
Adiabat. Temperaturgefälle $\Delta t_{\text{ad.}}$ . . . . .	$\Delta t_{\text{ad.}}$	° C	136,5	154,0	152,0
Gemessenes Temperaturgefälle . . . . .	$\Delta t_{\text{ad.}}$	° C	158,0	177,8	174,8
Wirkungsrad aus Temperatur $\eta_{\text{ad.}} = \frac{\Delta t_{\text{ad.}}}{\Delta t_{\text{gem.}}} \cdot 100$ . . . . .	$\eta_{\text{ad. Temp.}}$	%	86,4	86,6	86,9
Kupplungswirkungsgrad rd. $\eta_{\text{ad.}} = 2\%$ . . . . .	$\eta_{\text{ad. Leist.}}$	%	84,4	84,6	84,9
Kupplungsleistung . . . . .	$L_{Kg}$	kW	10250	11480	11380
<b>Gasturbinenleistung</b>					
Druckverhältnis . . . . .	$P_1/P_2$		3,715	4,27	4,17
Adiabat. Gefälle . . . . .	$H_{\text{ad.}}$	m	19500	29050	26580
Adiabat. Leistung . . . . .	$L_{\text{ad.}}$	kW	12000	17725	16460
Kupplungsleistung $L_{Kt} = L_{Kg} + L_{KGen}$ . . . . .	$L_{Kt}$	kW	10250	15664,3	14573,8
Wirkungsgrad aus Leistung $\eta_{\text{ad.}} = \frac{L_{Kt}}{L_{\text{ad.}}} \cdot 100$ . . . . .	$\eta_{\text{ad.}}$	%	85,4	88,4	88,4
<b>Totaler Wirkungsgrad Gebläse-Turbine</b>					
$\eta_{\text{tot.}} = \eta_{\text{ad. g}} \eta_{\text{ad. t}}$ . . . . .	$\eta_{\text{tot.}}$	%	72,1	74,8	75,0

2. *Chemische und Hüttenwerke.* Mannigfache Gasreaktionen in der chemischen Industrie werden neuzeitlich mit wesentlichen Ueberdrücken betrieben, die wirtschaftlich dann vor allem lohnen, wenn man die schon gewirkte habende, in der Regel heisse Gasmenge in einer Gasturbine zum Antrieb des Luftgebläses verwerten kann. Solche, von Brown Boveri und ihren Lizenznehmern gebauten Anlagen sind in Amerika und Italien bereits in vielen Ausführungen in Betrieb.

3. Naheliegend ist die Verwendung der Gasturbine zur *Lieferung von Gebläseluft für Hochöfen*. Dabei würde das Gebläse grösser angelegt als für den Luftbedarf der Turbine erforderlich und der Ueberschuss der Turbinenleistung würde statt elektrischen Energiebedarf den Luftbedarf der Hochöfen decken. Dabei passt der an Hochöfen übliche Luftdruck sehr gut zu einer Tur-

binenanlage, wenn man eine sowieso nötige Luftvorwärmung durch die Abgase der Turbine vorsieht.

4. Die Möglichkeit, die Gasturbine *anstelle des Dampf- oder dieselelektrischen Antriebes bei der Lokomotive* zu verwenden, verdient, trotz der sicher noch zu leistenden Entwicklungsarbeit, besondere Beachtung. Da der thermische Wirkungsgrad bei Dampflokomotiven in den Grenzen von 8 bis 12 % liegen dürfte, ist die Ueberlegenheit des Gasturbinenantriebes bei einem Wirkungsgrad von 15 % einschliesslich elektrischer Uebertragung der Energie auf die Räder bei Vollast, selbst der Hochdruck-Kondensierlokomotive gegenüber, in die Augen springend, umso mehr wenn durch Luftvorwärmung dieses Ergebnis noch erheblich gehoben wird. Ausschlaggebend ist die Entbehrlichkeit des Kühlwassers und der Diesel-Lokomotive gegenüber, das billigere

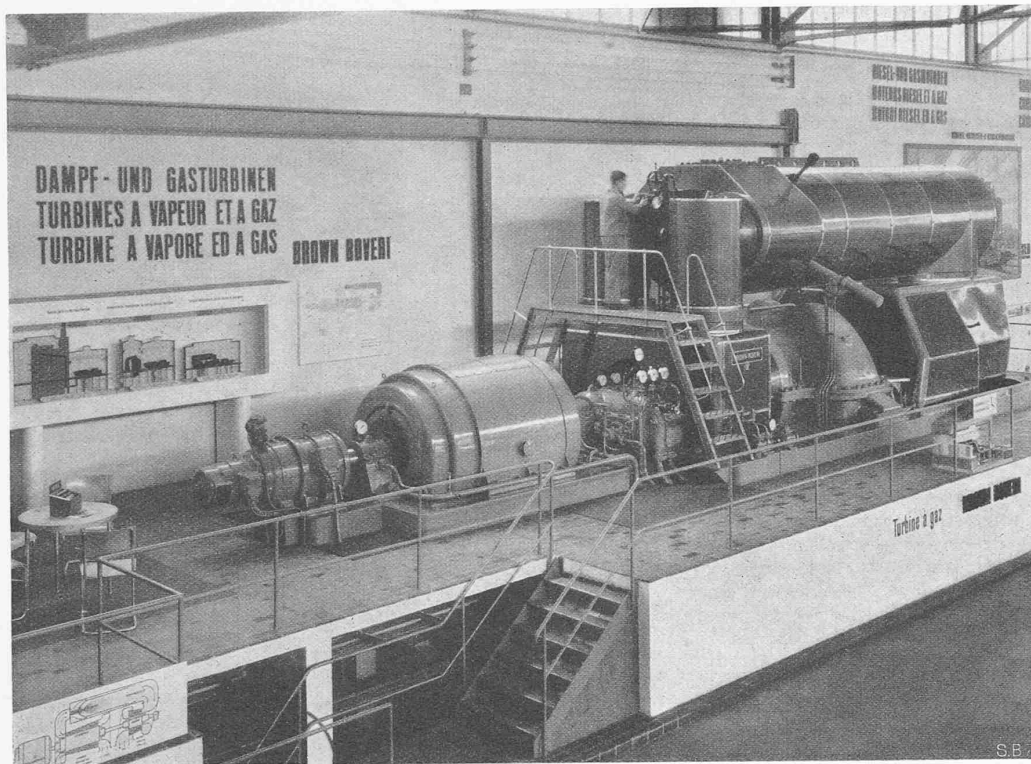


Abb. 1. Gasturbinengruppe für 4000 kW von Brown Boveri für das EW Neuenburg, im Betrieb an der LA

Brennöl, der verschwindend kleine Schmierölfabarf und der geringe Verschleiss.

Weitere Anwendungsfälle z. B. für Schiffe liegen auf der Hand; hervorzuheben sind aber nun die Möglichkeiten der Wirkungsgraderhöhung.

1. Luftvorwärmung nach dem Verlassen des Kompressors durch die heißen Abgase, wobei der Gewinn durch die Grösse der Vorrämerheizfläche bedingt ist. Abb. 5 zeigt den Verlauf der Wirkungsgradkurven für verschiedene Vorrämerheizflächen. Die Temperatur der Außenluft ist  $20^{\circ}\text{C}$ , die der Gase vor Turbine  $550^{\circ}\text{C}$ , die Verdichtung geht ohne Zwischenkühlung vor sich.

2. Die «fraktionierte» Verbrennung, die in einer Teilung der Turbine besteht, wobei in einer Zwischenbrennkammer durch frische Brennstoffeinspritzung eine Temperaturerhöhung für die nächste Stufe bewirkt wird.

3. Verbesserung des Wirkungsgrades bei Teilbelastungen, indem man die Turbine in zwei Einheiten teilt, wobei die eine nur den Kompressor antreibt und dabei die zweckmässigste Drehzahl annehmen kann.

4. Vor allem wird wirksam sein: die Erhöhung der Verbrennungstemperatur, die der erhöhten Wärmefestigkeit neuer Baustoffe, wie sie zu erwarten ist, folgen wird und grosse Fortschritte verheisst, wie Abb. 6 veranschaulicht. Wenn man bedenkt, dass durch Studien der besten Schaufelformen der Wirkungsgrad ferner steigen, und für je  $1\%$  Erhöhung an der Turbine oder am Kompressor der Totalprozess um  $4\%$  verbessert wird, so erkennt man, dass die Gasturbine eine Fülle von Anregungen in sich birgt, die sie dem Dampfturbinen-Ingenieur und der Industrie sehr wertvoll machen muss.

## Die Brown Boveri-Verbrennungsturbine an der LA

Um den Ingenieuren, denen das Problem der Gasturbine noch neu ist, die Materie näher zu bringen, hat uns Dir. Dr. Ad. Meyer von BBC folgende Einführung zur Veröffentlichung überlassen. Red.

Für viele Ingenieure und selbst für Thermodynamiker dürfte das Erscheinen und der Betrieb einer Gasturbine von 4000 kW an der Schweizerischen Landesausstellung 1939 eine Ueerraschung gewesen sein, obschon, oder vielleicht gerade weil man schon seit vielen Dezennien von ihr als der kommenden Kraftmaschine sprach, ohne dass sie je praktisch in Erscheinung getreten wäre. Seit 1791 in Patenten bekannt, wurde namentlich anfangs dieses Jahrhunderts von den verschiedensten Seiten an ihrer Verwirklichung gearbeitet und nicht nur viel Tinte und Druckerschränke verspritzt, sondern auch Stahl und Gusseisen in Bewegung gesetzt.

Alle diese Versuche waren zum Scheitern verdammt, weil die beiden für die Realisierung der Verbrennungsturbine wichtigsten Elemente, die Turbine selbst und der zugehörige Kompressor, einen viel zu schlechten Wirkungsgrad hatten, als dass man mit den zulässigen Gastemperaturen eine Nutzleistung erhalten hätte. Die Turbinenleistung reichte gerade aus, um den Kompressor zu treiben. Dies geht am besten aus Abb. 6 des vorgängigen Aufsatzes von Prof. Dr. A. Stodola her vor. Man kann daraus ersehen, dass ohne Anwendung eines Wärmeaustauschers zwischen Abgasen und komprimierter Luft selbst bei einem Totalwirkungsgrad der Gebläsegruppe von  $53\%$  entsprechend einem Turbinenwirkungsgrad von  $78\%$  und einem solchen des Gebläses von  $68\%$ , wie sie damals kaum erreichbar waren, der Wirkungsgrad des Gasturbinen-Prozesses bei  $550^{\circ}\text{C}$  Gastemperatur vor der Turbine gleich

Null ist und selbst bei einer auch heute noch unzulässigen Temperatur von  $800^{\circ}\text{C}$   $5\%$  nicht überschritten hätte.

Der Grund dieses kläglichen Ergebnisses ist die grosse Menge von Druckluft, die man braucht, um die Verbrennungstemperatur von rd.  $1800^{\circ}\text{C}$  durch Mischung auf die für die Gasturbinenbeschauflung zulässige Temperatur herunterzubringen.

In der BBC-Gasturbine wird das Gas durch stetige Verbrennung irgendeines Brennstoffes in verdichteter Luft erzeugt, wobei das Gas (das Verbrennungsprodukt) sich auf hohe Temperatur erhitzt. Je nach Art des verwendeten Brennstoffes unterscheidet man unter den Verbrennungs-Gasturbinen wieder Oel-turbinen, Naturgasturbinen, Hochofengasturbinen, Kohlenstaubturbinen usw.

Bei all diesen Brennstoffen ist die Verbrennungstemperatur so hoch, dass sie nach der Verbrennung auf einen Wert erniedrigt werden muss, der der Kriechfestigkeit der Beschauflung der Gasturbine angemessen ist, was durch Zusatz grösserer Luftpunktmengen, durch Wassereinspritzung, Wasseroberflächenkühlung oder dergleichen geschehen kann. Von den beiden genannten scheidet die Wassereinspritzung wegen des Verlustes der latenten Wärme praktisch aus. In der schematischen Anordnung nach Abb. 1 des vorgängigen Aufsatzes ist als Brennstoff Oel und als Kühlmittel Ueberschussluft gewählt.

Die gesamte Luftmenge, Verbrennungsluft plus Kühlung, wird durch das Axialgebläse aus der Atmosphäre angesaugt, auf den Druck der Verbrennung, etwa  $4$  bis  $5 \text{ kg/cm}^2$  abs verdichtet und in die Brennkammer gedrückt. Ein Teil der Luft dient dagegen zur Verbrennung des Oels, während der Rest derselben in einem Ringraum zwischen dem äussern Brennkammer-Mantel und dem Mantel des Brennraumes durchgeschickt wird, um so die von der Brennerwand ausströmende Wärme aufzunehmen und um die Temperatur der Verbrennungs-Produkte durch Mischung am Ende des Brenners auf den für die Gasturbinenbeschauflung zulässigen Wert herabzusetzen. Aus der Gasturbine treten die Gase bei dieser einfachsten Form der Anlage direkt ins Kamin aus. Die Regulierung der Gasturbine geschieht durch Steuerung der Brennstoffmenge und durch ein Bypassventil zur Umgehung der Turbinenschauflung als Sicherheitsventil. Die Gasturbine treibt ausser dem erwähnten Kompressor den Generator direkt oder über ein Getriebe an. Die einzigen Hilfsmaschinen der Anlage sind: ein Anwurfmotor der die ganze Gruppe auf eine Drehzahl bringt, bei dem der Kompressor genügend Luft für die Zündung an die Brennkammer liefert, sowie die Oelpumpen für Steuer- und Brennöl.

Man sieht hieraus die Vereinfachung gegenüber einer Dampfanlage, indem sowohl der Kessel mit seinen Hilfsmaschinen, wie